

자기적 성질을 응용한 YBaCuO계 초전도 자기센서

Magnetic Field Sensor by Using Magnetic Effect in YBaCuO Superconductor

이상현

(Sang Heon Lee)

Abstract

The relationship between electrical properties of YBaCuO superconductor and externally applied magnetic field was studied to develop a magnetic field polarity sensor. The electrical resistance of the superconductor was increased by applying external magnetic field and even after removal of the magnetic field. The behavior was related to the magnetic flux trapped in the superconductor, which penetrates through the material by the external magnetic field. Some portion of the superconductor was changed to a normal state by the trapped magnetic flux. The appearance of the normal state yielded to enhance the electrical resistance. Electrical characteristics of the superconductor with trapped magnetic flux were extremely sensitive to the external magnetic field and showed different responses depending on the direction of the magnetic field. Considering the observed properties of the superconductor with trapped magnetic flux, a magnetic sensor was fabricated to detect simultaneously both the intensity and the direction of the magnetic field.

Key Words : electromagnetic effect, magnetic flux, YBaCuO superconductor, magnetic sensor

1. 서 론

카렐린-온네스가 1911년 초전도 현상을 발견한 이후, 일 원소 물질인 많은 금속계 초전도체로부터 합금, 금속간의 화합물계 초전도체에 이르기까지 많은 연구가 진행되어 1973년에는 초전도체의 최고 임계

온도가 23.2 K에 달하였다. 그러나, 그후 10년이 지나도록 임계온도의 상승은 이루어지지 않았는데

1986년의 층상 Perovskite형 구조를 갖는 $(La,A)_2 CuO_4$ 계 산화물 ($A=Ca, Sr, Ba$)의 발견을 계기로 하여 초전도체의 임계온도는 급격하게 상승하였다. 특히 1987년 이트륨, 바륨, 구리산화물계 초전도체의 발견에 의해 액체질소 중에서 초전도성이 얻어져 고온 초전도의 시대가 열리게 되었다. 이후 LaBaCuO 계[1] 및 YBaCuO계[2] High-Tc 산화물에 대하여 기초물성, 결정구조, 합성법 등에 관한 방대한 연구가 이루어졌고, 임계온도가 100 K를 넘는 BiSrCaCuO계[3,4,5,6] 및 120 K를 넘는 TiBaCuO계가 잇달아 발표되는 등 매우 급속한 발전이 이루어

선문대학교 전자정보통신공학부

(충남 아산시 탕정면 갈산리 100)

Fax : 041-541-7426

E-mail : shlee@omega.sunmoom.ac.kr)

2001년 3월 12일 접수, 2001년 3월 26일 1차심사완료

2001년 4월 18일 2차심사완료

지고 있는데다가 10 T 이상의 고자장 환경에서 10^8 A/m² 이상의 임계 전류밀도를 갖는 BiSrCaCuO 선재가 실용화 할 수 있을 정도의 긴 길이로 제작되어 그 활용도는 앞으로 무한히 확장될 것으로 보인다. 고온초전도체는 임계온도 이외에도 여러 가지 성질이 종래의 금속초전도체와는 판이하게 다른 것으로 알려져 있다. 세라믹의 특성인 층상구조로 인하여 여러 가지 물리적 성질, 전기저항, 임계자장, 간섭길이, 에너지 간격 등이 심한 이방성을 나타내며 부서지기 쉽고 원하는 모양으로 만드는데 어려움이 있다. 그러나 유리한 점은 고온 초전도로서 전체 혹은 일부시스템을 운영할 경우 액체 헬륨 대신 액체질소를 냉매로 쓸 수 있기 때문에 저온 초전도 시스템과 비교해 볼 때 열적 단열을 위한 비용의 감소 뿐 아니라 전체적인 비용도 상당히 감소되는 것이다. 이러한 점 때문에 고온초전도체의 응용은 많은 분야에서 시도되고 있으며 그중 가장 실용화에 근접되어 있는 것으로 초전도 센서 분야가 주목을 받고 있다. 이는, 초전도 상태에서 상전도 상태로 혹은 상전도 상태에서 초전도 상태로의 상전 이때 발생되는 저항의 변화를 디바이스의 동작으로 응용할 수 있기 때문이다. 따라서 고온초전도체의 전자소자로서의 응용은 초전도 산업화를 위해서도 대단히 중요한 의미를 갖는다. 특히 YBaCuO계 초전도체에는 외부로부터 자계를 인가하면 전압이 발생하게 되는데 외부자계를 소거한 후에도 출력전압이 유지되는 물리적 현상이 있다. 본 연구에서는 이 현상을 자기적효과라고 한다[7]. 이 현상은 다결정 입계로 구성되어 있는 산화물 초전도체가 갖는 특징이며 자계를 인가함과 동시에 초전도체에 발생하는 출력전압이 변화하는 현상을 주목하면 간단한 고감도 초전도 자기센서로서 응용할 수 있는 가능성을 내포하고 있다. 따라서 본 연구에서는 초전도상태에 있는 시료가 자속에 의한 메모리의 기입이 가능하며 이러한 자기적 효과가 초전도체에 트랩된 자속과 밀접하게 관계되어 있는 것을 조사하여 YBaCuO계 초전도체의 자속 트랩 현상을 이용한 공학적 응용에 대하여 정성적으로 설명하고자 한다.

2. 실험 방법

YBaCuO계 초전도체는 Y_2O_3 , BaCO_3 와 CuO 분말을 혼합과 하소의 공정을 포함하는 고상 반응법으로 제조하였다. 저울에서 정량한 분말을 알루미나 막자 사발에서 균일하게 혼합, 공기 중 910 ~ 930°C에서 24시간 하소한 후 서냉하였다. 하소 분말은 분쇄하여 200 mesh의 sieve로 채질 하였다. 혼합 분말은 직경 2 mm steel die에서 원판형으로 성형한 후 940 ~ 950°C 공기 중에서 24시간 소결한 후 450°C에서 24시간 유지하였다. 모든 공정은 대기 중에서 수행하였으며, 완성된 시료는 반경 10 mm, 두께 1 mm의 흑색 원판형을 하고 있으며 이를 가공하여 둑형의 시료를 제작하였다. 4개의 단자는 In을 전극 재료로 사용하였고, 외측의 2개 단자에는 전류를 흘리고 중앙 부분의 전압 강하를 내측의 2개 단자로 측정한다. 각각의 단자를 전류 단자 및 전압 단자라 한다. YBaCuO계 초전도시료의 전류-전압 특성을 측정하기 위한 회로의 개략을 그림1에 나타낸다.

0°C에서 24시간 하소한 후 서냉하였다. 하소 분말은 분쇄하여 200 mesh의 sieve로 채질 하였다. 혼합 분말은 직경 2 mm steel die에서 원판형으로 성형한 후 940 ~ 950°C 공기 중에서 24시간 소결한 후 450°C에서 24시간 유지하였다. 모든 공정은 대기 중에서 수행하였으며, 완성된 시료는 반경 10 mm, 두께 1 mm의 흑색 원판형을 하고 있으며 이를 가공하여 둑형의 시료를 제작하였다. 4개의 단자는 In을 전극 재료로 사용하였고, 외측의 2개 단자에는 전류를 흘리고 중앙 부분의 전압 강하를 내측의 2개 단자로 측정한다. 각각의 단자를 전류 단자 및 전압 단자라 한다. YBaCuO계 초전도시료의 전류-전압 특성을 측정하기 위한 회로의 개략을 그림1에 나타낸다.

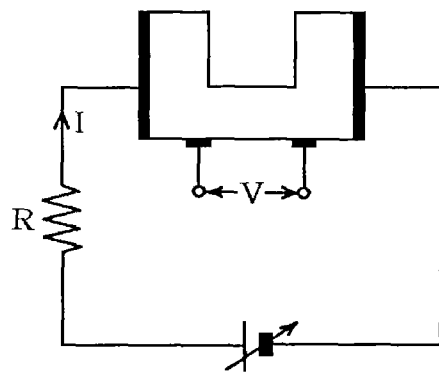


그림 1. 초전도 소자의 개략도.

Fig. 1. Circuit used for measurement of current-voltage characteristics of superconducting sample.

3. 결과 및 고찰

3.1 자기적 현상

시료가 초전도 상태에 있으며 외부로부터 자계를 인가하지 않는 경우 초전도시료의 전류-전압 특성은 그림 2의 (A)가 된다. YBaCuO 계 초전도시료에 외부로부터 0.1 T의 자계를 인가하면 특성 (A)는 일점 쇄선으로 표시된 특성 (B)로 변화된다. 즉, 자계인가로 인하여 초전도 시료의 전압이 증가되고 동시에 저항도 증가하게 된다. 다음으로 외부자계를 소거하면 시료에서 발생하는 전압은 감소하나 원래의 특성 (A)의 상태로 돌아가지 않고 (C)의 특성에 머무르게 되며 임계전류는 감소하게 된다. 이 상태에서 전압을 0으로 하고 다시 전압을 인가하여도 동작점은

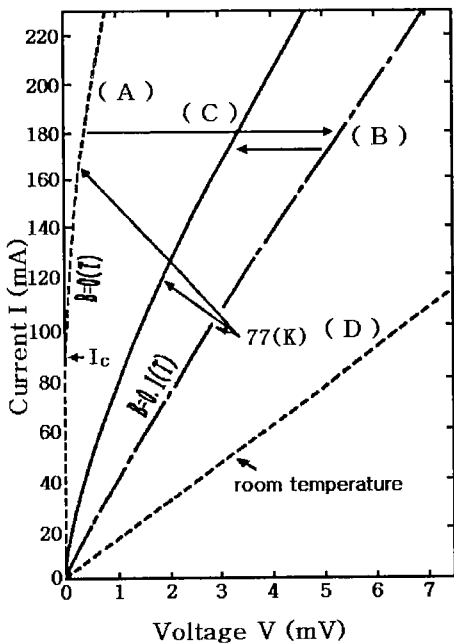


그림 2. YBaCuO계 초전도체의 전류-전압 특성.
Fig. 2. Current-voltage characteristics of the YBaCuO ceramics.

(C)의 특성을 나타낸다. 본 논문에서는 이러한 현상을 초전도체의 자기적 효과라고 한다[7].

특성 (A)와 (C)의 상이점은 다음과 같이 설명할 수 있다.

특성 (A)는 임계전류 이하의 전류를 인가한 경우로서 초전도 시료의 양단에서는 전압이 발생한다. 이것은 초전도체를 흐르는 전류와 더불어 발생한 자계로 인하여 초전도 영역의 일부가 상전도 영역으로 천이 된 결과로 생각되며, 초전도 입자의 Josephson 접합이 전압상태가 되는 것에 기인하여 저항성분이 발생하는 것으로 사료된다. 특성 (C)는 초전도 시료에서 발생하는 전압이 크게 증가되어 나타난 결과이다. 이것은 특성 (A)와 비교하여 상전도 영역이 확장되어 저항성분이 크게 증가한 결과로 사료된다.

상전도 영역이 확장되는 원인으로서는 초전도 시료에 인가되었던 외부 자장으로 인하여 시료에는 자속이 트랩 되며 외부 자장을 소거 한 이후에도 트랩된 자속에 의하여 초전도 소결체의 약 결합 부분이 초전도 상태로부터 상전도 상태로 천이 함으로서 초전도체의 저항값이 증가하게 된다.

다음으로 본 시료의 전압 발생 모델을 고찰하기

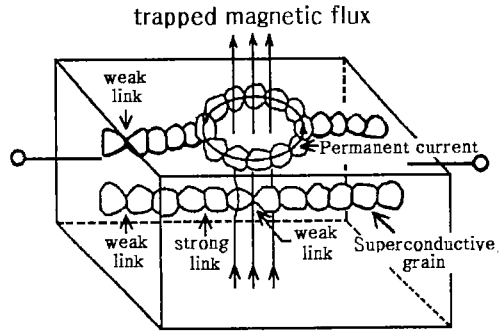


그림 3. 초전도체의 전압 발생 모델.

Fig. 3. Model responsible for the occurrence of the voltage.

위하여 필라멘트 모델[7]을 적용하여 YBaCuO계 초전도체의 전류-전압 특성을 정성적으로 고찰한다. 그림 3에 필라멘트 형상을 고려한 전압 발생 모델을 나타낸다.

본 연구에서 대상으로 하고 있는 YBaCuO 계 초전도체는 미세한 입자들의 집합체이므로 그림 3에서 와 같이 시료내부에는 초전도 입자간의 결합강도가 강한 부분과 약결합 부분이 혼합되어 존재한다. 이러한 초전도 입자는 그림에서 나타내는 것과 같이 양 단자간을 연결하고 있거나 ring 형태로 연결되어 있는 부분도 존재하는 것으로 생각할 수 있다. 이와 같은 시료에 외부로부터 자계가 인가되면 ring 형태의 결합을 하고 있는 초전도 입자 사이에는 영구 전류가 흐르게 되며, 이 영구 전류에 의해 외부 자장이 소거 된 이후에도 시료에는 자속이 트랩된다. 또한 이 같은 자속은 ring 형태의 결합을 하고 있는 초전도 입자뿐만 아니라 개개의 초전도 입자의 결합에도 트랩되는 것으로 사료된다. 이 결과로서 초전도체에 트랩된 자속이 인접한 초전도 필라멘트의 약 결합 부분에 들어가 그 부분의 초전도성을 파괴하는 것으로 생각된다. 그리하여 시료에 인가된 자장 및 트랩된 자속에 의하여 초전도 소결체의 약 결합 부분이 초전도 상태로부터 상전도 상태로 천이 되어, 초전도 상태의 단자간을 연결하는 초전도 필라멘트는 분단된다. 결과적으로 초전도 소결체의 단자간에는 전압이 나타나게 되고, 그림 2의 (C)와 같은 특성이 발생하는 것으로 사료된다.

다음으로 이와 같은 초전도체에 트랩 된 자속과 약 결합과의 상호작용을 고려한 필라멘트모델을 그림 4에 나타낸다.

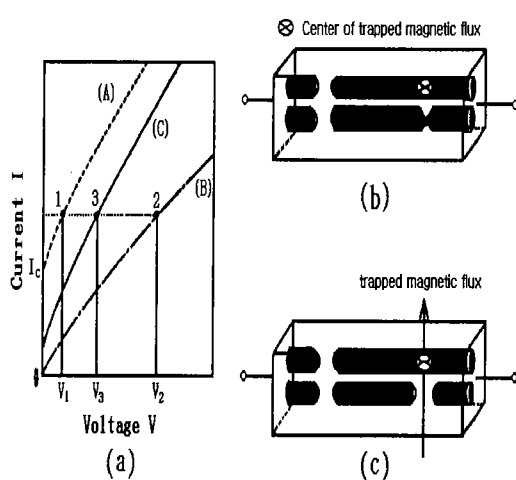


그림 4. 자속에 의한 초전도체의 전기저항의 발생 설명.

Fig. 4. Graphical explanation of an increase in electrical resistance of superconductor caused by magnetic flux.

- (a) I-V curve.
- (b) State of superconducting filament before application of external magnetic field. This state correspond to the point 1 in curve (A).
- (c) State of superconducting filament correspond to the point 3 in curve (C). Shift of curve (B) is caused by application of external field. This shift yields to the increase in electrical resistance.

그림 중의 \times 표시는 초전도체 내부에 포함되어 있는 결합을 나타낸다. 필라멘트의 두터운 부분과 가는 부분은 각각 초전도 입자간의 결합 강도가 강한 부분과 약 결합 부분을 의미한다.

그림 4(a)는 그림 2에서 측정한 전류-전압특성을 모식적으로 표현한 모델이다. 그림 4(b)는 특성 (A)의 점1을 나타내는 초전도 시료 내부상태를 설명한다.

그림에서 전압 V_1 이 발생하게 되는 원인으로서는 임계전류 이상의 전류가 시료의 일부를 흐르고 있으며 양전극이 초전도 영역만으로 연결되어 있지 않는 점을 들 수 있다. 그림 4(c)는 초전도 시료 내부에

트랩된 자속에 의하여 초전도영역의 일부가 상전도 상태로 변화되는 과정으로서 시료에는 점1의 상태보다 큰 전기 저항이 발생한다. 그러므로 시료 양단에는 전압 V_1 보다 큰 값의 전압 V_3 가 발생하게 된다.

트랩된 자속에 의하여 초전도 시료 내부에 전극간을 연결하는 초전도 전류경로의 일부가 파괴되면 외부로부터 자계가 인가되지 않은 상태에도 그림 2(C)와 같은 전압이 발생한다. 그림 2(C)와 같은 특성을 나타내는 초전도 시료에 미소한 외부 자계를 인가한 경우 나타나는 특성의 변화를 측정하여 자기 센서로서의 가능성에 대하여 조사하였다.

3.2 자속트랩 현상과 외부자계의 영향

초전도 시료에 자속을 트랩시키기 위하여 0.1 T의 외부 자계를 인가한다. 초전도 시료에 자속이 트랩된 상태에서 시료에 인가되는 미세 자계의 크기는 10^{-3} T 이하로 한다. 자석에 의하여 인가되는 자계는 물론 트랩 된 자속에도 방향성이 있으므로 본 논문에서는 자기 메모리 방법 및 미소한 외부 자계의 인가 방법을 그림 5에서 명확하게 정의한다.

그림 5(a)는 초전도 시료 내부에 존재하는 초전도 전류경로 모델이다. 자속이 통과하지 않는 부분은 초전도 상태(흑색경로)를 나타내며 이외의 영역은 상전도 상태이다. 그림 5(b)는 외부 자계를 소거한 경우이며 자속이 트랩중심에 pinning 되어있다. 본 논문에서는 그림 5(a)와 같이 자석의 N극이 초전도 시료에 균접되어 자기 메모리 된 상태에 대하여 설명하고자 한다. S극이 균접 된 경우에도 같은 결과를 나타낸다. 그림 5(c)는 N극으로 자기 메모리 된 초전도 시료에 약한 자계를 발생하고 있는 자석의 N극을 균접시킨 결과이다. 그림 5(d)는 그림 5(c)의 상태와는 반대로서 S극을 인가한 경우이다. 그림 5(a)의 경우가 그림 5(b)보다 상전도 영역이 크게 나타난다. 상전도 영역은 시료를 통과하는 자속의 수가 많을수록 크게 나타나는 것을 의미한다.

그림 6은 그림 5(b),(c),(d)의 전류-전압 특성을 나타낸다. 특성 (b),(c),(d)는 각각 그림 5(b), (c), (d)에 대응한다.

그림에서 초전도시료에서 형성되는 상전도 영역의 크기는 전기저항의 크기와도 비례하며 상전도 영역의 크기는 (d)의 경우가 가장 크게 나타나며, (c)의 경우가 최소가 되는 것을 추론할 수 있다. 즉 (b)상태의 시료에 N극을 인가하면 상전도 영역은 감소되며 초전도 영역이 증가한다. 따라서 시료의 전기저항의 감소를 가져와 (b)의 상태와 비교하여 전류가

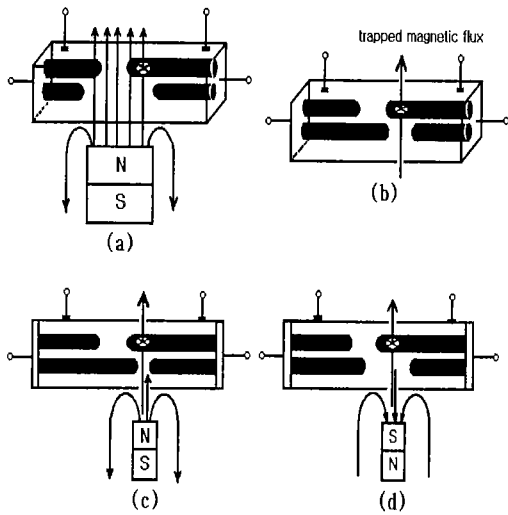


그림 5. 외부자계의 인가방법 및 트랩된 자속에 의한 자기 메모리 정의.

Fig. 5. Definitions of memory by trapping magnetic flux and adding methods of external magnetic field.

- (a) application of external magnetic field.
- (b) removal of external magnetic field.
- (c) application of small external magnetic field of which polarity is same as one of trapped flux.
(application of same polarity)
- (d) application of small external magnetic field of which polarity is opposite as one of trapped flux.
(application of opposite polarity)

흐르기 쉽게되어 (c)의 특성을 나타낸다. (d)의 상태는 저항이 증가하므로 (b)의 특성보다 전류가 흐르기 어려워지므로 (d)의 특성이 된다. 이 경우 외부자계의 세기가 약하므로 초전도 영역에 진입할 수 없는 것으로 생각된다. 따라서 자속이 시료내부에 트랩 되지 않으므로 외부 자계가 소거된 이후에는 (c), (d)의 특성은 (b)의 특성으로 된다.

그림 6에 특성 (b)로부터 (c)와 특성 (b)로부터 (d)로 특성이 천이 되는 메카니즘에 대하여 고찰한다. 초전도 상태에 있는 물질에 외부 자계를 인가하면 자계의 진입을 방해하기 위하여 초전도 시료에는 반자성 전류가 흐르게 된다. 외부 자계의 방향에

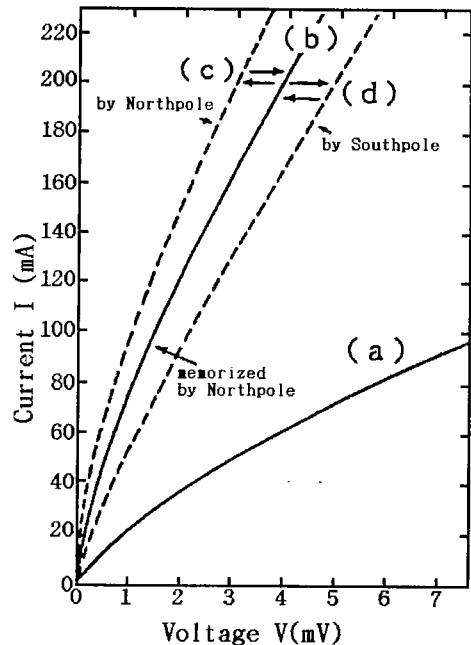


그림 6. 그림 5의 (a)~(d)의 상태에 대응하는 초전도체의 전류-전압특성.

Fig. 6. Schematic I-V curve which correspond to state (a)~(d) in Fig.5.

- (a) application of external magnetic field.
- (b) application of small external magnetic field of which polarity is same as one of trapped flux.
(application of same polarity)
- (c) application of small external magnetic field of which polarity is opposite as one of trapped flux.
(application of opposite polarity)

따라 반자성 전류에 의하여 초전도체는 역 방향의 자계가 유기되어 초전도 상태에 있는 물질의 자계는 서로 상쇄되는 결과가 된다. 따라서 초전도 시료에는 외부 자계가 진입하지 않게 된다. 이러한 효과를 근거로 초전도 특성이 (b)에서 (c)로 천이 하는 이유를 고찰한다. 그림 5(c)의 트랩 자속 부분을 확대하여 그림 7에 나타낸다.

그림 7(a)는 초전도 시료에는 자속이 트랩되어 있으며 외부 자계가 인가되지 않은 상태를 의미한다. 그림에서는 초전도 시료에 트랩된 자속을 중심으로

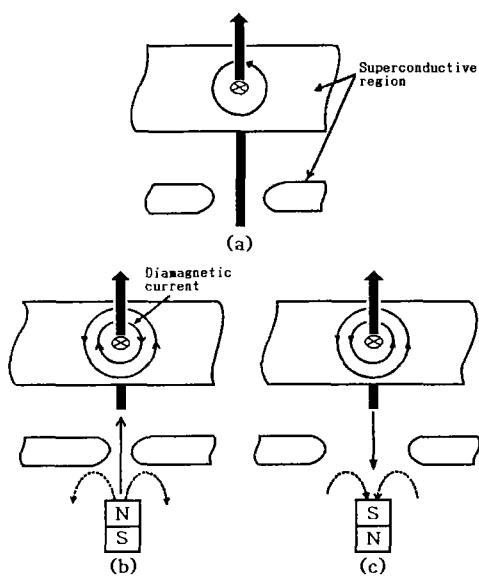


그림 7. 미세한 외부자계의 변화에 의하여 발생하는 전기저항 변화 메커니즘.

Fig. 7. Mechanism of change in electrical resistance caused by small external magnetic field.
 (a) zero external magnetic field.
 (b) application of same polarity.
 (c) application of opposite polarity.

자속 주위를 돌고 있는 전류를 나타내고 있다. 이 전류는 초전도 영역을 흐르고 있으며, 그림 중의 \times 표시는 트랩 중심을 의미하며 트랩된 자속에 의하여 인접한 초전도 필라멘트가 분단되어 있다. 분단 된 영역은 상전도 상태가 되며 이 영역이 초전도 시료의 저항을 크게 하고 있다. 이 상태에서 측정된 전류-전압 특성은 그림 6의 특성 (b)가 된다. 분단 된 영역의 간격이 더욱 확장되면 시료의 저항은 증가하여 그림 6(d)의 특성이 되며 반대로 간격이 축소되면 그림 6(c)의 특성이 된다.

그림 5(c)에서 제시한 자기 방향과 같은 방향의 미세한 자계를 초전도 시료에 인가한 경우 그림 7(b)와 같은 실험조건이 된다. 이 경우 외부 자계를 전입시키지 않기 위하여 초전도 시료에는 반자성 전류가 흐르게 되어 트랩된 자속의 주위를 돌고 있는 전류는 감소한다. 그러므로 트랩 된 자속에 의하여 발생하는 자계는 약화되어 초전도 필라멘트의 분단 부분의 폭은 더욱 감소하게 된다. 따라서 초전도 시

료의 저항값은 감소하여 시료의 전류-전압 특성은 그림 6(c)가 된다.

다음으로 같은 방향의 자계를 0으로 한 경우에는 초전도체의 반자성 전류는 소실되어 특성은 그림 6(b)로 된다. 반대의 자기방향을 인가하였을 경우에는 초전도체를 흐르는 반자성 전류는 트랩된 자속의 주위를 돌고 있는 전류와 같은 방향으로 되어 트랩된 자속에 의한 자계의 증가를 가져와 인접한 초전도 필라멘트의 절단부분의 폭이 더욱 증가하게 된다. 결과적으로 시료의 저항값은 증가하여 시료의 전류-전압 특성은 그림 6(b)에서 (d)로 천이 된다. 자극의 인가 방향의 on과 off 특성에 따라 전류-전압 특성도 그림 6(b)와 (d)사이를 천이하게 된다.

3.3 자기센서의 원리

YBaCuO계 초전도체의 자속 트랩과 전기적 특성의 관계에 대하여 설명하였다. 본 연구에서는 자속이 트랩 되어 있는 YBaCuO계 초전도체에 외부 자계를 인가하였을 경우 외부 자계의 방향과 트랩된 자속에 의하여 형성되는 자계의 방향의 상관관계에 의존하여 전기적 특성이 변화하는 현상을 주목한다. 같은 방향의 자계가 인가된 경우에는 초전도체의 전기저항이 감소하며 반대 방향의 자계를 인가할 경우 전기저항이 증가하는 현상을 응용하여 자기센서를 구성한다.

그림 8에는 자기센서의 기본원리를 나타낸다. 서로 다른 자극 방향으로 자기 메모리 된 2개의 초전도체를 저항소자로 한다. 저항소자에 2개의 가변저항을 연결하여 휴이스톤 브리지 회로를 구성한다. R_{S1} 과 R_{S2} 는 각각의 초전도체의 저항이 된다. 그림에서 표시된 외부 자계에 대하여 저항 R_{S1} 으로 표시된 소자는 같은 방향의 자계가 인가된 상태이며 외부 자계에 의하여 저항값이 감소한다. 한편 R_{S2} 로 표시된 소자는 반대방향의 자계가 인가된 상태로서 저항값은 증가한다. 외부 자계가 0인 경우 브리지회로는 평형 조건 $R_1R_{S1} = R_2R_{S2}$ 를 만족하고 있으며 지점 1과 지점 2에서는 전위차가 발생하지 않는다. 그러나 브리지 회로에 그림에서와 같은 외부 자계가 인가되면 R_{S2} 의 저항값이 증가하여 R_{S1} 의 저항값은 감소하게 되어 지점 1과 지점 2사이에는 전위차가 발생하게 된다.

그림 8에 마이너스 전극을 기준으로 지점 1과 지점 2의 전위를 각각 V_1 과 V_2 로 한다.

외부 자계가 0인 경우 브리지 회로는 평형상태가 되어 $V_1 = V_2$ 가 된다. 그러나 그림 8의 외부 자계

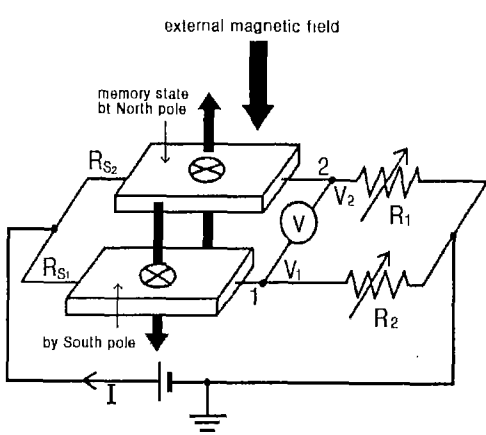


그림 8. 자기 센서의 개략적인 원리

Fig. 8. Schematically represented principal of magnetic field · polarity sensor.

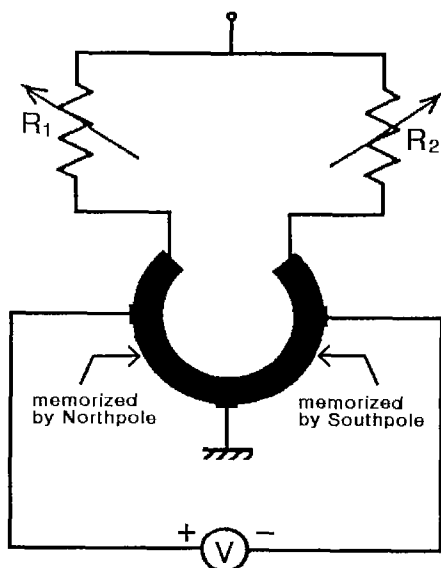


그림 9. 휴이스톤 브리지형 자계·자극 센서.

Fig. 9. Wheatstone bridge including magnetic field · polarity sensor.

가 인가되면 R_{S2} 의 증가 및 R_{S1} 의 감소로 인하여 브리지회로는 평형조건을 만족할 수 없게되어 $V_1 > V_2$ 가 된다.

다음으로 그림 8의 브리지회로에서는 외부 자계의

방향만 반전하면 R_{S2} 는 감소되고 R_{S1} 은 증가한다. 따라서 이 경우에는 $V_1 < V_2$ 가 된다. 즉 외부로부터 인가되는 자계의 방향과 지점 1, 2에서 발생하는 전위차의 변화는 서로 밀접하게 연동하고 있다. 자계의 방향에 따라 지점 1과 지점 2의 사이에서 전위차가 발생한다고 하면 자계의 방향이 역전되어도 지점 1과 지점 2 사이에서 발생하는 전위차의 고저 또한 역전된다. 1, 2 지점간의 전위차를 알게되면 측정하려는 자계의 방향 즉 외부 자계의 N극과 S극의 위치를 결정할 수 있다.

외부 자계의 세기가 증가되면 저항값 R_{S1} 과 R_{S2} 의 차는 서서히 증가하여 지점 1과 지점 2의 사이에서 발생하는 전위차는 크게 나타난다. 따라서 전위차의 크기만 측정하게 되면 초전도체에 인가되는 외부 자계의 세기 또한 측정할 수 있다.

2개의 초전도체를 저항소자로 하여 구성한 휴이스톤브리지는 외부로부터 인가된 자계에 의하여 지점 1과 지점 2의 사이에 전위차를 발생한다. 그러므로 초전도체로 구성된 저항소자의 전위차를 측정하면 외부 자계의 세기 및 방향을 용이하게 감지할 수 있다.

고상 반응법으로 제작된 YBaCuO계 초전도체를 가공하여 그림 9의 브리지회로를 구성하였다. 그림 9의 초전도체의 우측 1/2 부분과 좌측 1/2 부분은 서로 다른 자극으로 자기 메모리 되어 있다. 전압 E 를 브리지회로에 인가하여 R_1 과 R_2 의 저항값을 조절하면 전위계 V 를 0으로 할 수 있으며 브리지회로는 평형상태를 이룰 수 있다. 다음으로 초전도 시료에서 서로 다른 자극을 접근한다. 자석의 S극을 인가한 경우에는 전위계는 + 방향을 나타내며 N극이 인가된 경우에는 - 방향을 지시한다. 즉 전위계가 지시하는 방향에 의하여 외부 자계의 방향을 감지할 수 있다. 외부 자계에 의한 자속의 크기는 hole소자형 자속계로 측정하였다.

본 연구에서 제안한 자기센서는 구조가 간단하며 제작이 용이하다. 동작 방법 또한 SQUID와 비교하여 간편하다. 고온 초전도체의 성질을 이용하여 브리지회로 방식으로 자계 및 자극 센서를 구성하였다.

4. 결 론

0.1 T의 비교적 강한 자계에서 자기 메모리된 YBaCuO계 초전도체의 전기적 특성을 조사하였다. 자기 메모리의 원인으로 사려되는 자속 트랩을 고정

하여 두고 외부 자계의 극성에 변화를 주면 임계전류치 이상의 전류가 흐르고 있는 고 전류 영역에서는 자계의 극성에 따라 초전도체의 전기저항이 증가하고 감소하는 현상을 고찰하였다.

초전도 시료에 트랩된 자속으로 인하여 발생하는 자계와 같은 방향의 외부 자계가 인가되면 트랩된 자속의 실효값이 감소하여 상전도 상태에 있는 영역의 일부가 초전도 상태로 친이 되어 초전도체의 전기저항이 감소하는 현상을 정성적으로 설명하는 모델을 제안하였다. 또한 이 모델에 적용하면 초기 자계와 반대방향의 외부 자계를 인가하면 초전도체의 전기저항이 증가하는 현상의 정성적인 해석도 가능하다. 자기 메모리된 초전도체를 저항소자로 하여 브리지회로를 구성하여 외부 자계의 세기 및 극성을 동시에 감지 할 수 있는 자기센서를 제안하였다.

Constant Current Density Assumption”, Transactions on Electrical and Electronic Materials, Vol. 1. No. 1, 2000.

- [7] 이상현, “YBaCuO계 초전도체의 자기적 성질”, 전기전자재료학회논문지, Vol. 12, No. 6, 542, 1999.

감사의 글

본 연구는 2000년도 선문대학교 교내학술연구비의 지원을 받아 수행하였습니다.

참고 문헌

- [1] J. G. Bednorz and K. A. Muller, “Possible High T_c Superconductivity in the Ba-La-Cu-O System”, Z. Phys. B64, 189, 1986.
- [2] M. K. Wu, J. R. Ashburn, C. J. Trong, P. H. Hor, R. L. Gao, I. J. Huang, Y. Q. Wang and C.W. Chu, “Superconductivity at 91K in a New Mixed-Phase Y-Ba-Cu-O System” Phys. Rev. Lett., Vol. 58, No. 9, 908, 1989.
- [3] H. Maeda, Y. Tanaka, M. Hukutomi, “Bi-based High T_c Superconductors” Jpn. J. Appl. Phys., Vol. 27, No. 2, 209, 1988.
- [4] 하홍우, 오상수, 하동우, 심기덕, 장현만, 권영길, 류강식, “Bi-2223/Ag 고온초전도 선재의 변형에 따른 임계전류 특성”, 전기전자재료학회 논문지, Vol. 14, No. 1, 2001.
- [5] 김태우, 주진호, 나완수, 유재무, 이상현, “Bi-(Pb)-Sr-Ca-Cu-O 고온초전도 선재용 괴복합 금 개발 및 특성평가”, 전기전자재료학회논문지, Vol. 12, No. 8, 1999.
- [6] Wan soo Nah, Jinho Joo, “Self Field Effect Analysis of Bi2223 Tape-Stacked-Cable with